Молокитина Надежда Сергеевна

Строение и устойчивость дисперсий льда, стабилизированных гидрофобизированным

Спец**изножрем и езем ом**огия, мерзлотоведение и грунтоведение (**технические науки**)

Работа выполнена в ФГБУН Институт Криосферы Земли Сибирское Отделение Российской Академии Наук

Научный руководитель:

кандидат физико-математических наук Поденко Лев Степанович Новые перспективные материалы на основе водных дисперсий, стабилизированных гидрофобизированным нанокремнеземом



Факторы, сдерживающие использование новых материалов на основе дисперсий, стабилизированных гидрофобным нанокремнеземом

Существующие материалы разрушаются при колебаниях температуры вблизи 273 К

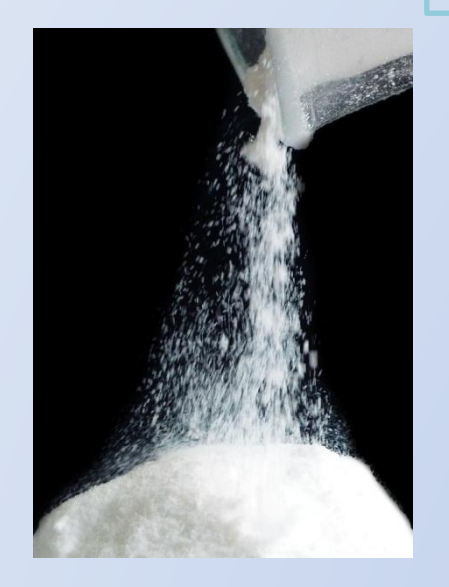


Рис. 1 "Сухая вода". ИКЗ СО РАН

Перспективный материал для создания устойчивых к сезонным колебаниям температуры тепловых экранов (л.с. поденко и др. 2013).

Материалы для получения модельных газогидратных систем предназначенных для изучения метастабильных состояний газовых гидратов, играющих важную роль в обеспечении стабильности природных газовых гидратов в криолитозоне (л.с. Поденко и др., 2013)



До проведения настоящих исследований не было установлено строение дисперсий льда, стабилизированных гидрофобными наночастицами

Перспективный материал для хранения и транспортировки природных газов в гидратах (Wang W.X et al, 2008).



В результате циклов образования/разложения гидратов "сухая вода" частично разрушается (Wang W.X et al 2010); известные способы стабилизации высокозатратны

(Carter B.O. et al, 2010).

Цель работы

Основной целью настоящих исследований является изучить строение замороженной "сухой воды" и замороженных водных дисперсий поливинилового спирта, стабилизированных гидрофобизированным нанокремнеземом (гидрофобным аэросилом), и определить их устойчивость к циклам замерзания/оттаивания водной фазы.

Задачи **исследования**

- определить условия образования льда в "сухой воде" и водных дисперсиях поливинилового спирта, стабилизированных гидрофобным аэросилом;
- изучить особенности строения: а) замороженной "сухой воды" и замороженных водных дисперсий поливинилового спирта, стабилизированных гидрофобным аэросилом; б) водных дисперсий поливинилового спирта, полученных измельчением смеси замороженного водного раствора поливинилового спирта и гидрофобного аэросила;
- определить устойчивость "сухой воды" и дисперсий водных растворов поливинилового спирта, стабилизированных гидрофобным аэросилом, к циклам замерзания/оттаивания.

Защищаемы положения

- установлено, что замороженная "сухая вода" с содержанием гидрофобного аэросила не более 5 мас. %, представляет собой преимущественно сплошное пористое ледяное тело. При содержании аэросила в "сухой воде" более 5 мас. % часть замороженной "сухой воды" имеет консистенцию сыпучего порошка, доля которого возрастает с увеличением содержания аэросила;
- экспериментально установлено, что пороговая температура замерзания переохлаждённой воды в микрокаплях дисперсной фазы "сухой воды" существенно (на десятки градусов) больше пороговой температуры замерзания такого же количества воды, не контактирующей с твердой поверхностью;
- установлено, что устойчивость к циклам замерзания/оттаивания воды в дисперсиях, стабилизированных гидрофобным аэросилом, возрастает с увеличением содержания гидрофобного аэросила в этих дисперсиях; замена воды на водный 5% раствор поливинилового спирта приводит к значительному повышению устойчивости водных дисперсий.

Апробация

Конференции. Основнова осн обсуждались на Международных и Всероссийских конференциях в том числе: 6-я школа-семинар молодых ученых «Теплофизика, гидрогазодинамика, теплотехника, инновационные технологии» (Тюмень, 2010); 7-я Зимняя молодежная школа-конференция с международным участием «Магнитный резонанс и его приложения» (Санкт-Петербург, 2010); Семинар «Нефтегазопромысловая геология и геофизика» (Тюмень, 2012); VIII Всероссийский научно-технический семинар «Некрасовские чтения-2012: Природные геотехнические системы в криолитозоне. Проблемы, задачи и современные пути их решения» (Тюмень, 2012); X Международная конференции по мерзлотоведению (Салехард, 2012); Международная конференция "Криология Земли: XXI век" (Пущино, Россия, 2013); Всероссийская конференция "Газовые гидраты в экосистеме Земли' 2014" (Новосибирск, 2014); 8-я Международная конференция по газовым гидратам (Пекин, 2014)

Публикации. По результатам исследований опубликовано 17 работ, в том числе 6 работ в изданиях, включенных в Перечень ВАК РФ, получено 2 патента РФ

Материалы

- Гидрофобизированный пирогенный диоксид кремния гидрофобный аэросил R202 (Evonik Industries). Размер первичных частиц 14 нм, размеры агломерированных агрегатов до 100 нм. Насыпная плотность 50 г/л
- ✓Поливиниловый спирт (ПВС). Марка 16/1, ГОСТ 10779-78
- Раствор с концентрацией ПВС 5 мас.% и борной кислоты (БК) 1 мас. %. Вязкость 5%-го раствора ПВС не превышает 40 мПа⋅с

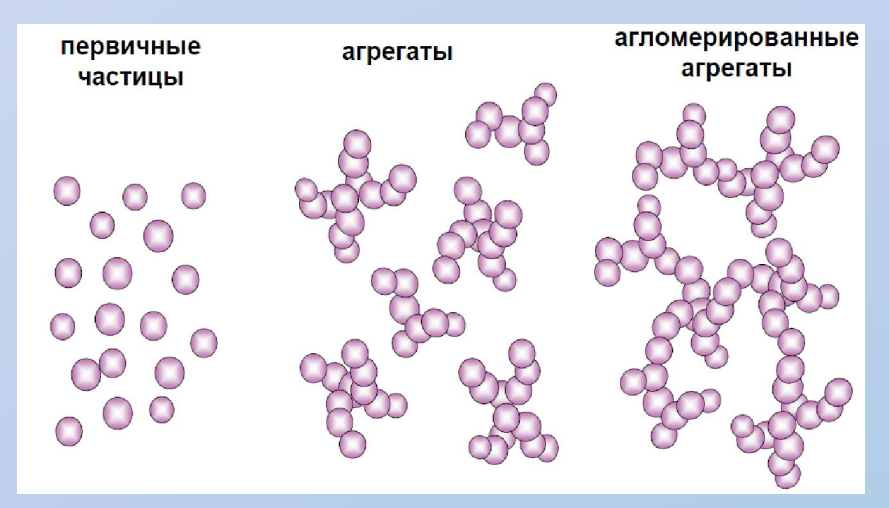


Рис. 2 Частицы гидрофобизированного нанокременезема



Рис. 3 Фото раствора ПВС (содержание ПВС 5 мас. %, БК 1 мас. %)

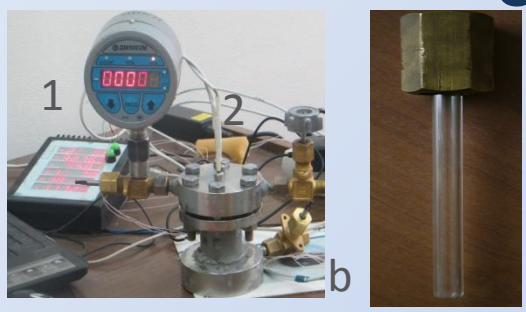




Рис. 4 Элементы экспериментальной установки ДТА: цифровой преобразователь сигнала -1 и металлический реактор -2 – (а); стеклянный реактор – (b); программируемый термостат – (c)



Рис. 5 Цифровой оптический микроскоп



Рис. 6 ЯМР релаксационная установка Bruker Minispec mq

_

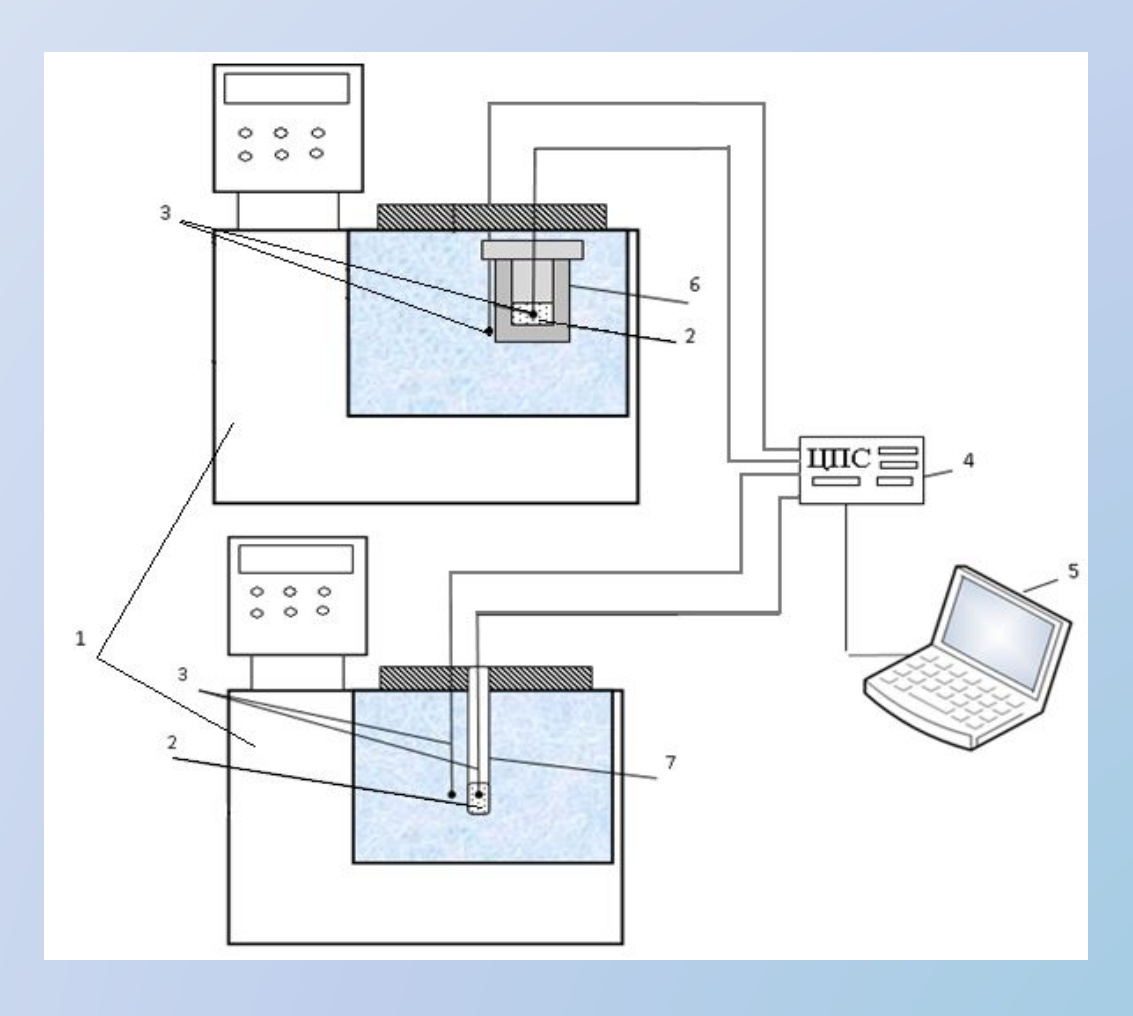
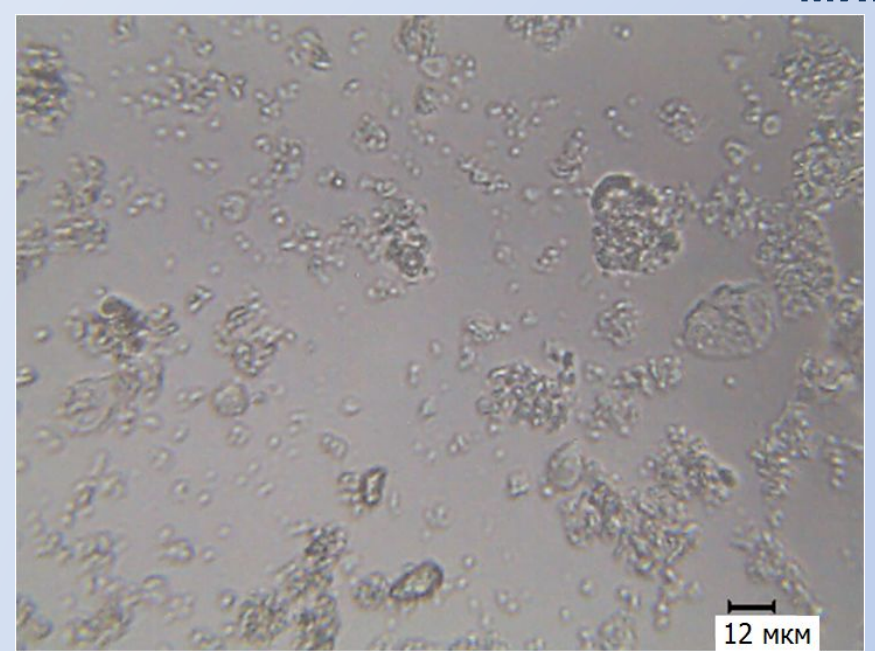


Рис. 7 Схема экспериментальной установки для проведения ДТА исследований: термостат – 1, исследуемый образец – 2, термодатчики – 3, цифровой преобразователь сигнала – 4, компьютер - 5, металлический реактором – 6, стеклянный реактор -7

Определение размеров водных частиц методом оптической микроскопии



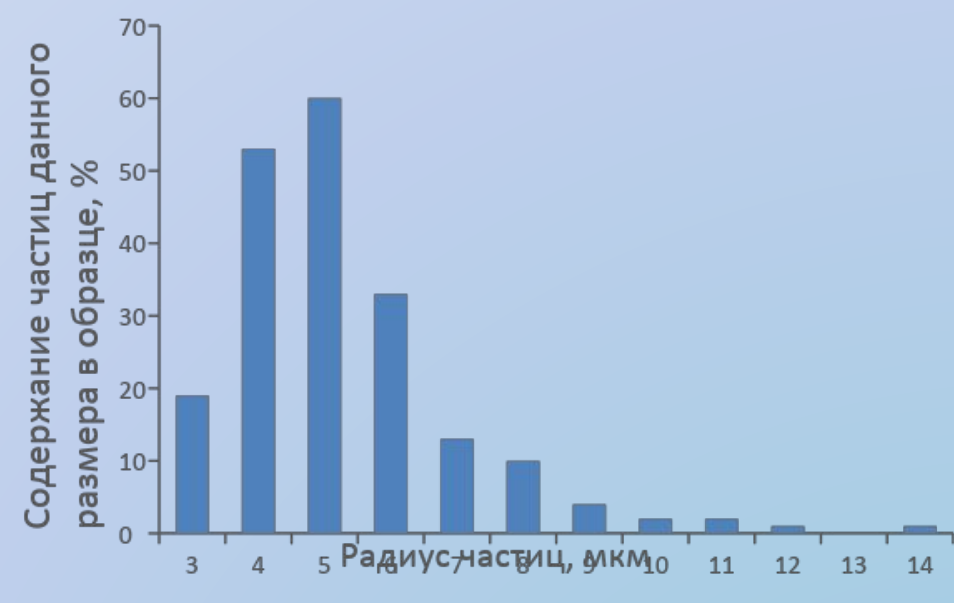


Рис. 7 "Сухая вода" с содержанием аэросила 5 мас. %

Рис. 8 Гистограмма распределения водных частиц в образце "сухой воды" с содержанием аэросила 5 мас. %

Относительная погрешность определения радиуса водных 20%

Методика измерения размеров водных частиц методом ЯМР

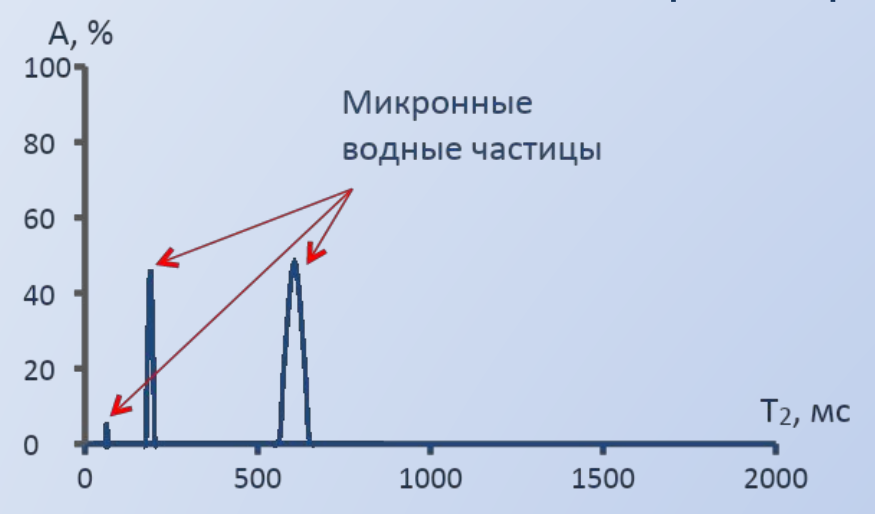


Рис. 9 Спектры времени релаксации Т₂ "сухой воды" с содержанием гидрофобного аэросила 5 мас. %



- (a) "сухая вода" с содержанием гидрофобного аэросила 5 мас. % до замораживания;
- (b) "сухая вода" с содержанием гидрофобного аэросила 5 мас. % после замерзания/оттаивания,
- (с) вода, объемом равным ее объему в образце "сухой воды"

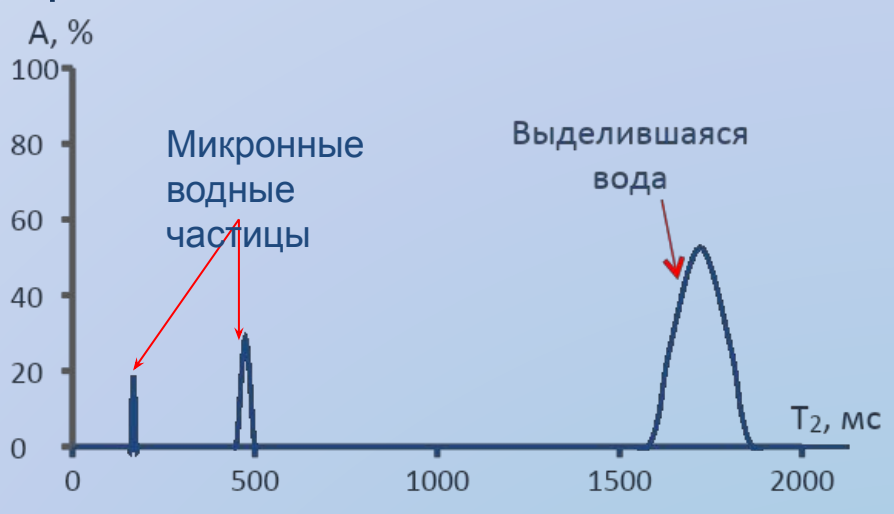
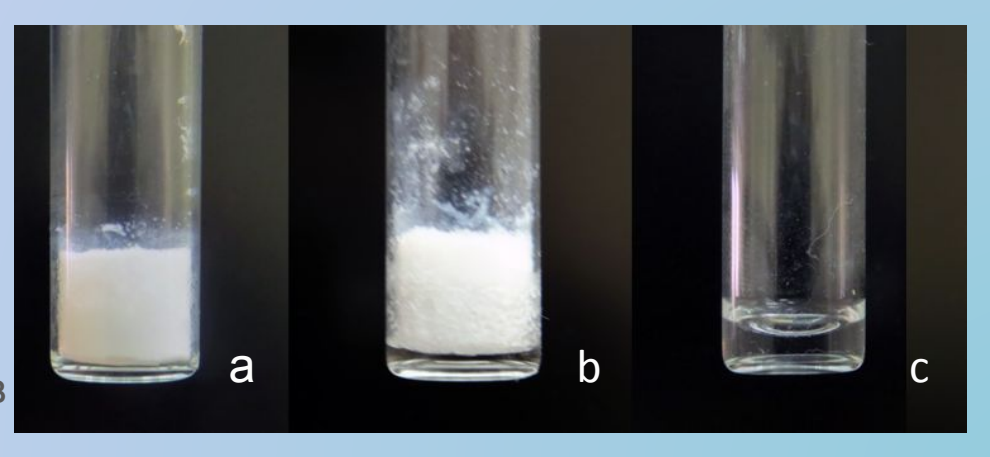


Рис. 10 Спектры времени релаксации Т₂ "сухой воды" с содержанием гидрофобного аэросила 5 мас. % после цикла замерзания/оттаивания



Температурные условия образования и плавления льда в "сухой воде"

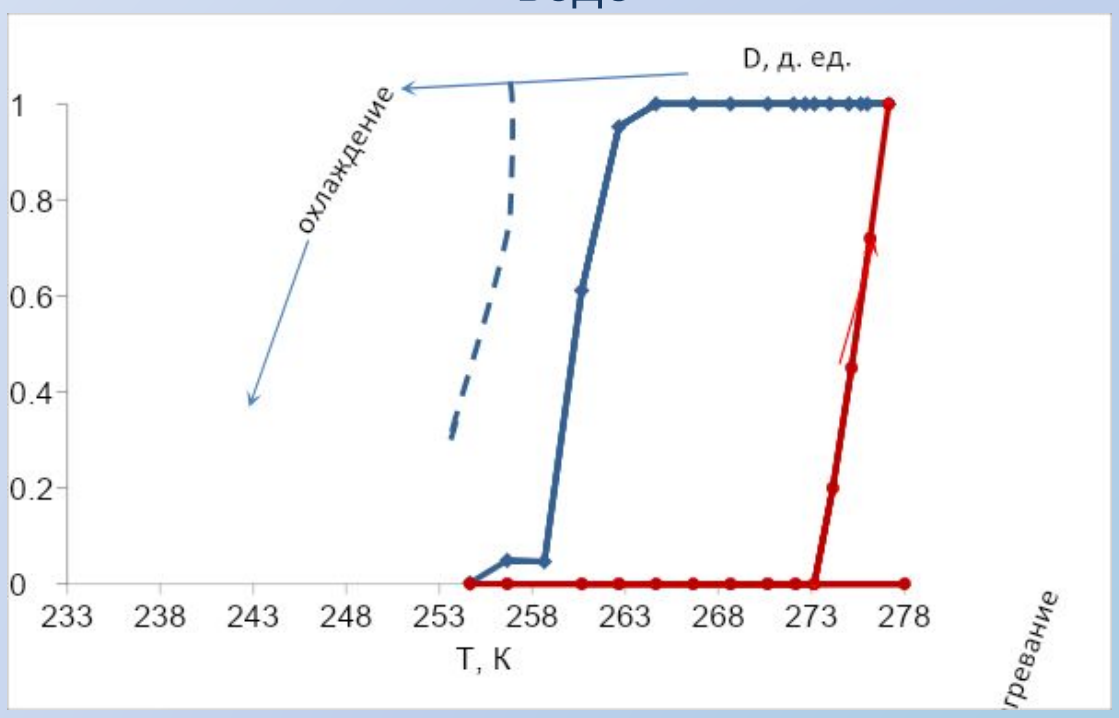


Рис. 12 Изменение доли жидкой воды (по отношению к суммарному ее содержанию) при охлаждении, нагревании образца "сухой воды" (сплошная линия), образца объемной воды (прерывистая линия). Содержание аэросила в "сухой воде" 5 мас. %. Скорость изменения температуры 0,2 К/мин. Содержание воды 0,25 г.

Влияние содержания гидрофобного аэросила на пороговую температуру замерзания и глубину переохлаждения воды в дисперсии "су" до положительного поросить на пороговую температуру замерзания и глубину переохлаждения воды в дисперсии "су" до положительного поросить на пороговую температуру замерзания и глубину переохлаждения воды в пороговую температуру замерзания и глубину переохлаждения в пороговую температуру в порогову температуру в порогову темп

Рис. 13 Термограммы охлаждения (1) и нагревания (2) "сухой воды" с содержанием аэросила 5 мас.%

	Среднее	
	значение	
Содержание	пороговой	Среднее значение
аэросила,	температуры	переохлаждения,
мас.%	1 01	К
	замерзания	
	воды * , К	
5	264	9±1
10	267	6±1
15	267	6±1
0**	238	34±2

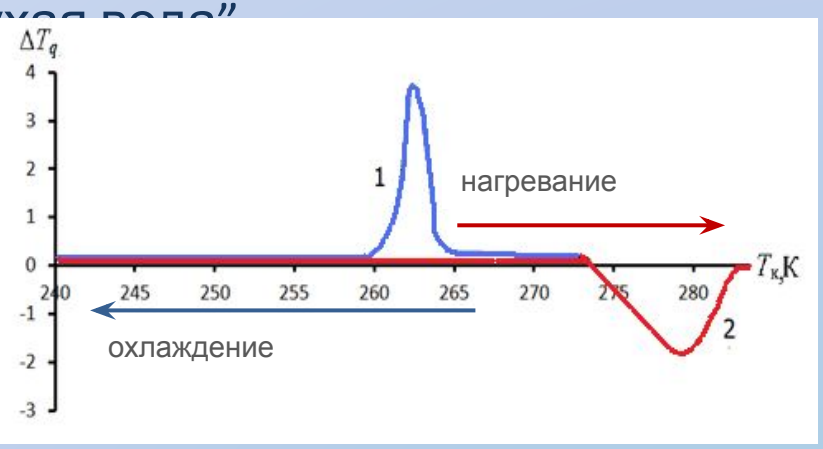


Табл. 1 Степень переохлаждения воды (0,25 г) в дисперсии "сухая вода" при её охлаждении со скоростью 0,5 К/мин*

^{*}Проведено десять измерений для каждой концентрации аэросила, отклонение от среднего значения не превышало 1 К.

^{**}Эмульсия типа вода в масле (ПЭС

Свойства замороженной "сухой воды"

Табл. 2 Плотность замороженной "сухой воды"

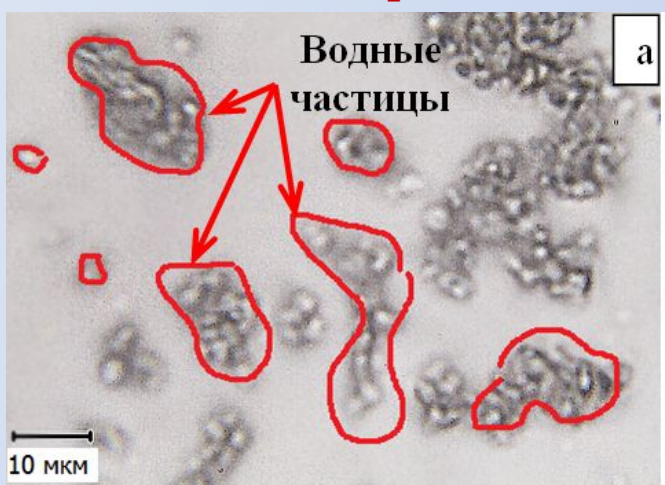
Содержание гидрофобного аэросила, мас.%	Плотность, г/см ³
3	0,6±0,07
5	0,5±0,05
10	0,3±0,01
15	0,2±0,005

Табл. 3 Массовая доля частиц замороженной "сухой воды" размером менее 5 мм

Содержание гидрофобного аэросила, мас.%	Массовая доля частиц замороженной "сухой воды" размером менее 5 мм, отн. ед
3	0,05±0,03
5	0,06±0,03
10	0,2±0,01
15	0

Влияние гидрофобного аэросила на строение дисперсного льда, полученного из "сухой воды"

Исходный образец



Замерзший образец

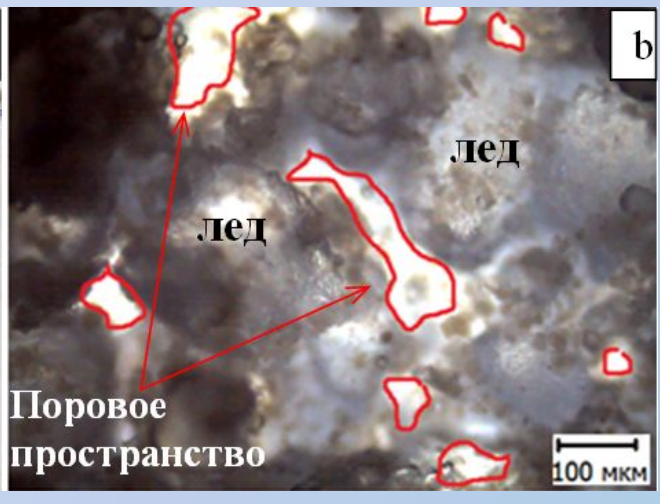
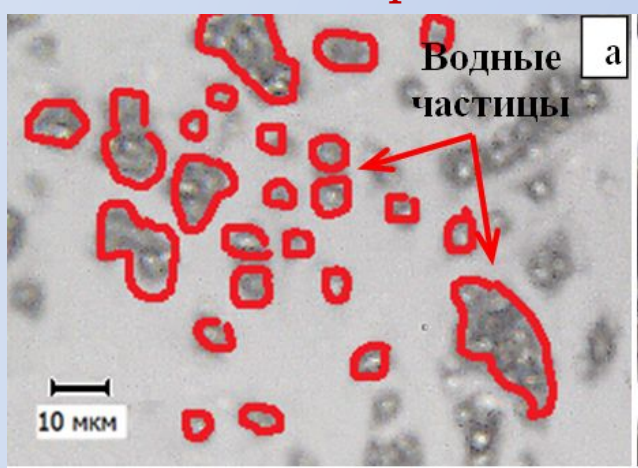


Рис. 14 Исходная (а) и замороженная (b) "сухая вода" с содержанием гидрофобного аэросила 3 мас. %

Исходный образец



Замерзший

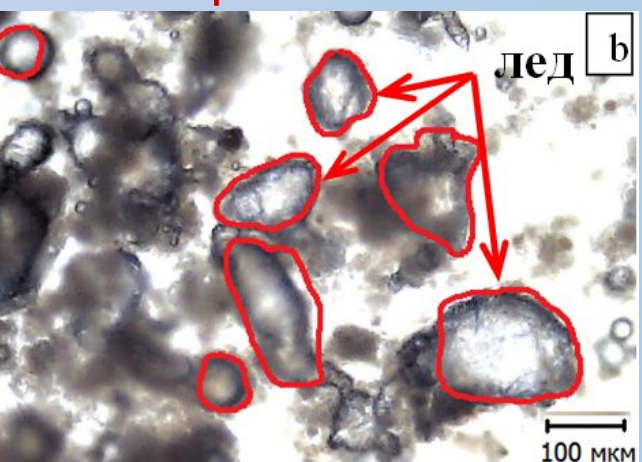


Рис. 15 Исходная (а) и замороженная (b) "сухая вода" с содержанием гидрофобного аэросила 10 мас. %



"Сухая вода" с содержанием гидрофобного аэросила 10мас.% не расслоилась после **двух** циклов замерзания/оттаивания

Рис. 16 Образцы "сухой воды" после двух циклов замерзания/оттаивания

Средний диаметр водных частиц, мкм

"Сухая вода" до замерзания

"Сухая вода" после одного цикла замерзания/оттаивания

"Сухая вода" после двух циклов замерзания/оттаивания

Табл. 4 Средний диаметр водных частиц дисперсной фазы "сухой воды" с содержанием аэросила 10 мас. %

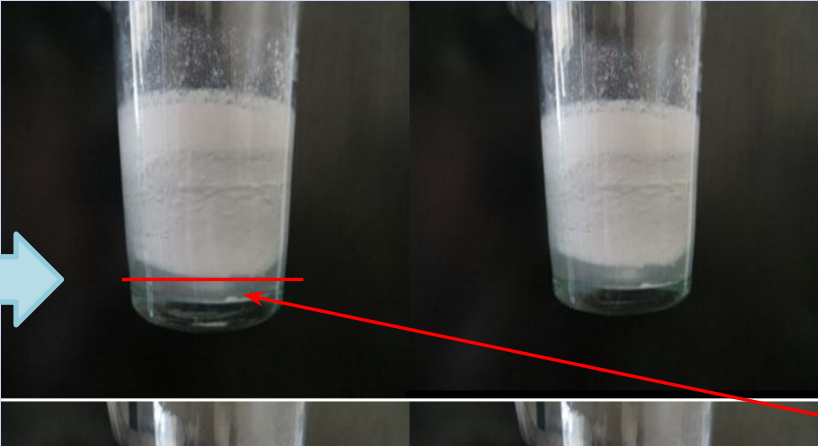
Влияние циклов замерзания/оттаивания на дисперсии гидрогеля поливинилового спирта, стабилизированные гидрофобным аэросилом

После одного цикла замерзания/оттаиван ия

Содержание гидрофобного аэросила 3 мас.%

Содержание гидрофобного аэросила 5мас.%

Содержание гидрофобного аэросила 8мас.%







После двух циклов замерзания/оттаиван ия

Расслоение образцов произошло после первого цикла замерзания/о ттаивания

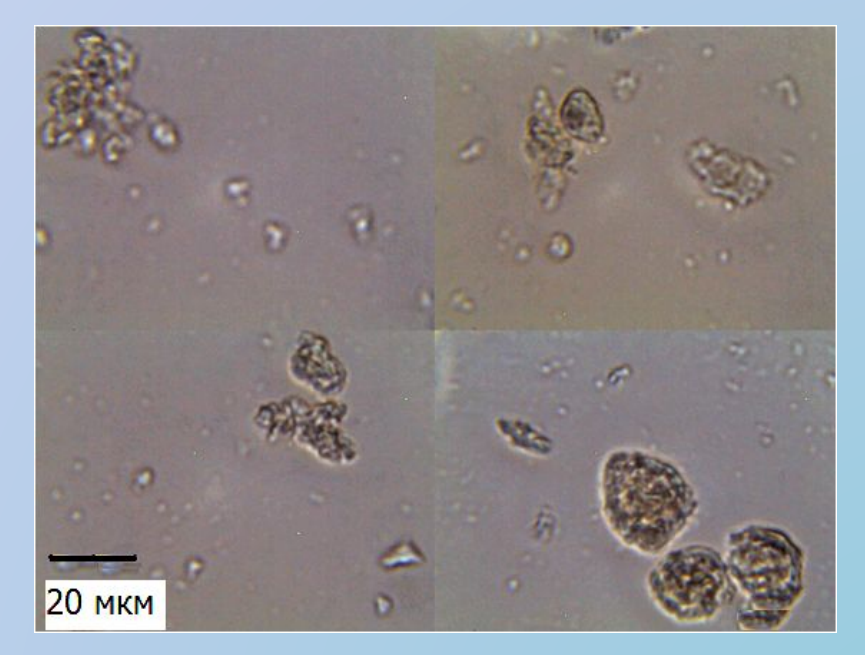
Рис. 17



Рис. 19 Фото дисперсии гидрогеля ПВС, стабилизированной гидрофобным аэросилом (8 мас. %), после двух циклов замерзания/оттаивания

Дисперсия гидрогеля ПВС, стабилизированная гидрофобным аэросилом (8 мас. %) является свободнодисперсной сыпучей микрокапельной системой, устойчивой по

крайней мере к 8 циклам



замерзания/оттаивания Рис. 20 Снимок дисперсии гидрогеля ПВС,

стабилизированной гидрофобным аэросилом (8 мас. %), сделанный оптическим микроскопом после двух циклов замерзания/оттаивания

Основные результаты и выводы

- Установлено, что замороженная "сухая вода" с содержанием гидрофобного аэросила не более 5 мас. %, представляет собой преимущественно сплошное пористое ледяное тело. При содержания аэросила в "сухой воде" более 5 мас.% часть замороженной "сухой воды" имеет консистенцию сыпучего порошка, доля которого возрастает с увеличением содержания аэросила;
- Показано, что гидрофобный аэросил инициирует нуклеацию льда в "сухой воде". Благодаря этому степень переохлаждения воды в микрокаплях дисперсной фазы "сухой воды" уменьшается примерно на два десятка градусов по сравнению с водой, не контактирующей с твердыми частицами;
- Показана возможность повышения устойчивости "сухой воды" к циклам замерзания/оттаивания за счет увеличения содержания гидрофобного аэросила. Так "сухая вода" с содержанием аэросила 3 и 5 мас.% расслаивалась после проведения одного цикла замерзания/оттаивания, но сохраняла устойчивость после двух циклов замерзания/оттаивания при содержании аэросила 10 мас. %;
- Установлено, что замена воды на водный 5% раствор поливинилового спирта в водной дисперсии, стабилизированной гидрофобным аэросилом, приводит к значительному повышению устойчивости этой дисперсии к циклам замерзания/оттаивания. Так дисперсия 5% раствора поливинилового спирта с содержанием аэросила 8 мас.% не расслаивалась после проведения восьми циклов замерзания/оттаивания.

Спасибо за внимание

Новый способ получения дисперсии льда

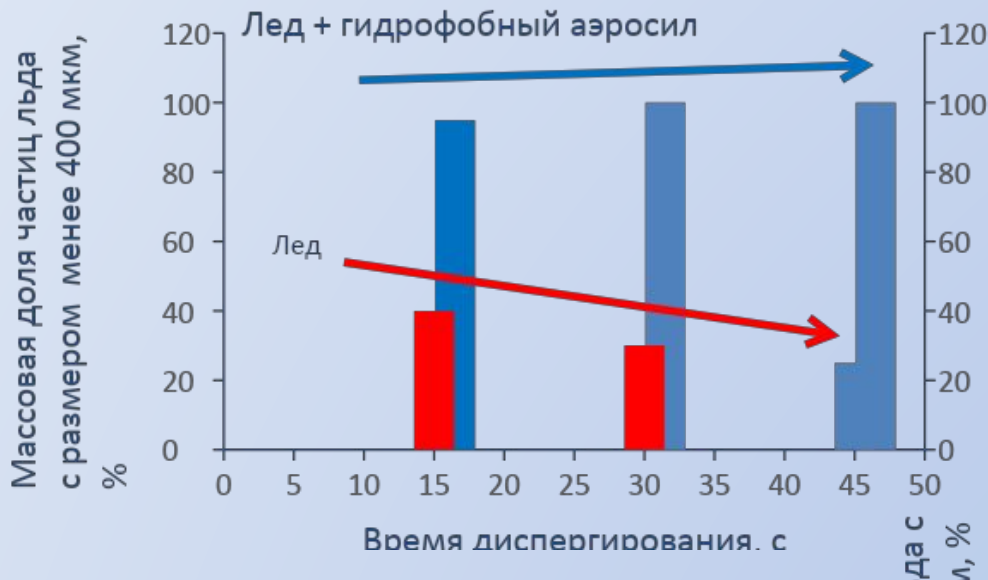


Рис. 19 Зависимость массовой доли частиц льда с размерами менее 400 мкм от времени диспергирования

Размер частиц льда в исходной засыпке не более 5мм

Исходная концентрация гидрофобного аэросила – 5 мас. %

В.П. Мельников, А.Н. Нестеров, Л.С. Поденко, Н.С. Молокитина. В.В. Шаламов Способ диспергирования льда. 2011. Патент на изобретение №2473850

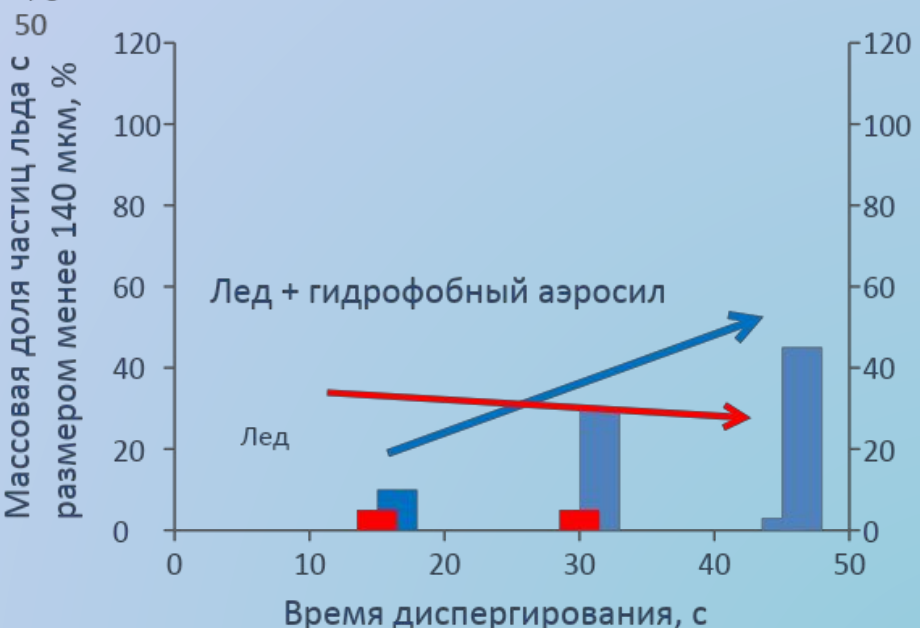
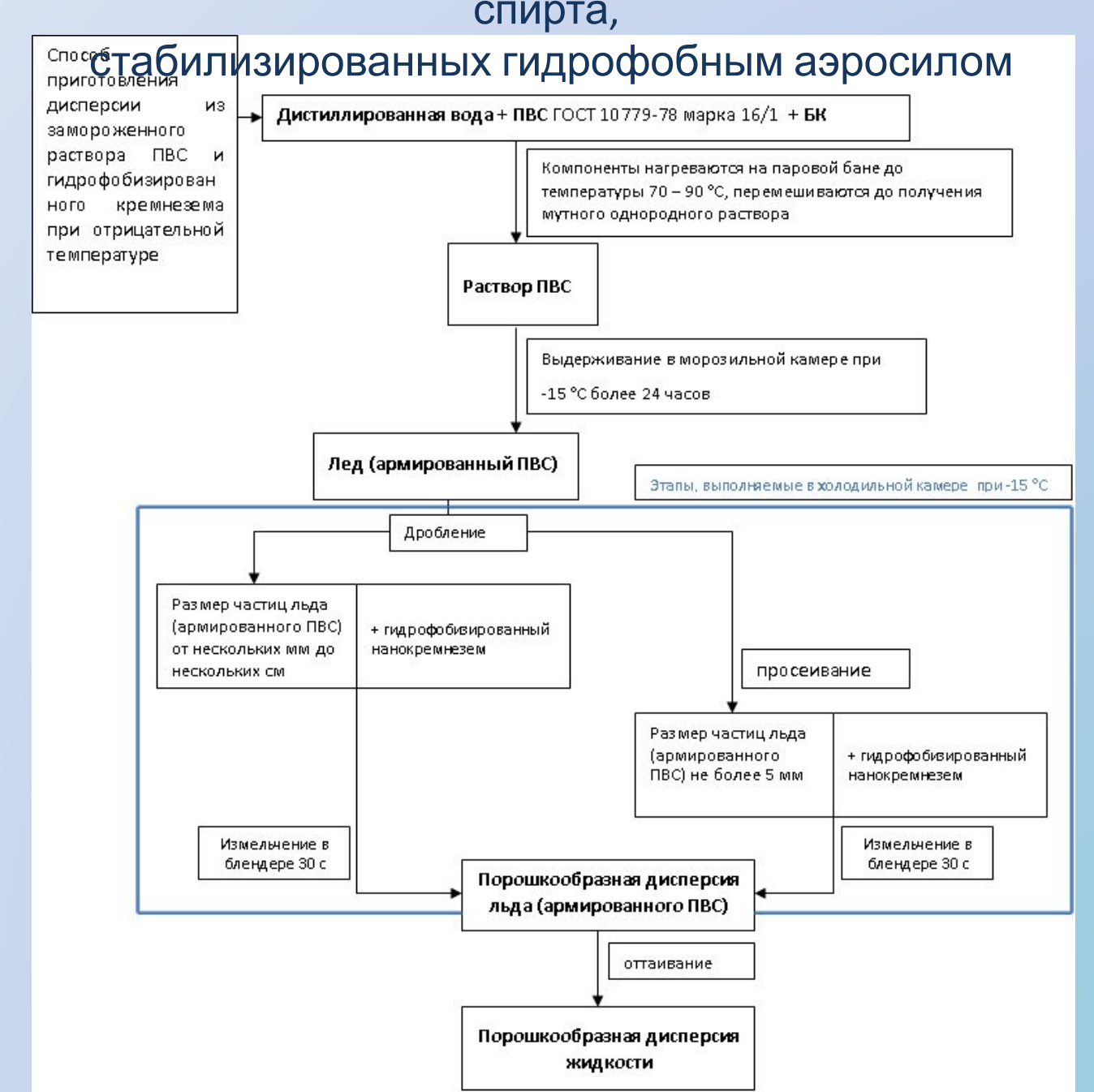


Рис. 20 Зависимость массовой доли частиц льда с размерами менее 400 мкм от времени диспертирования



Способ приготовления дисперсии из водного раствора поливинилового спирта и гидрофобного аэросила

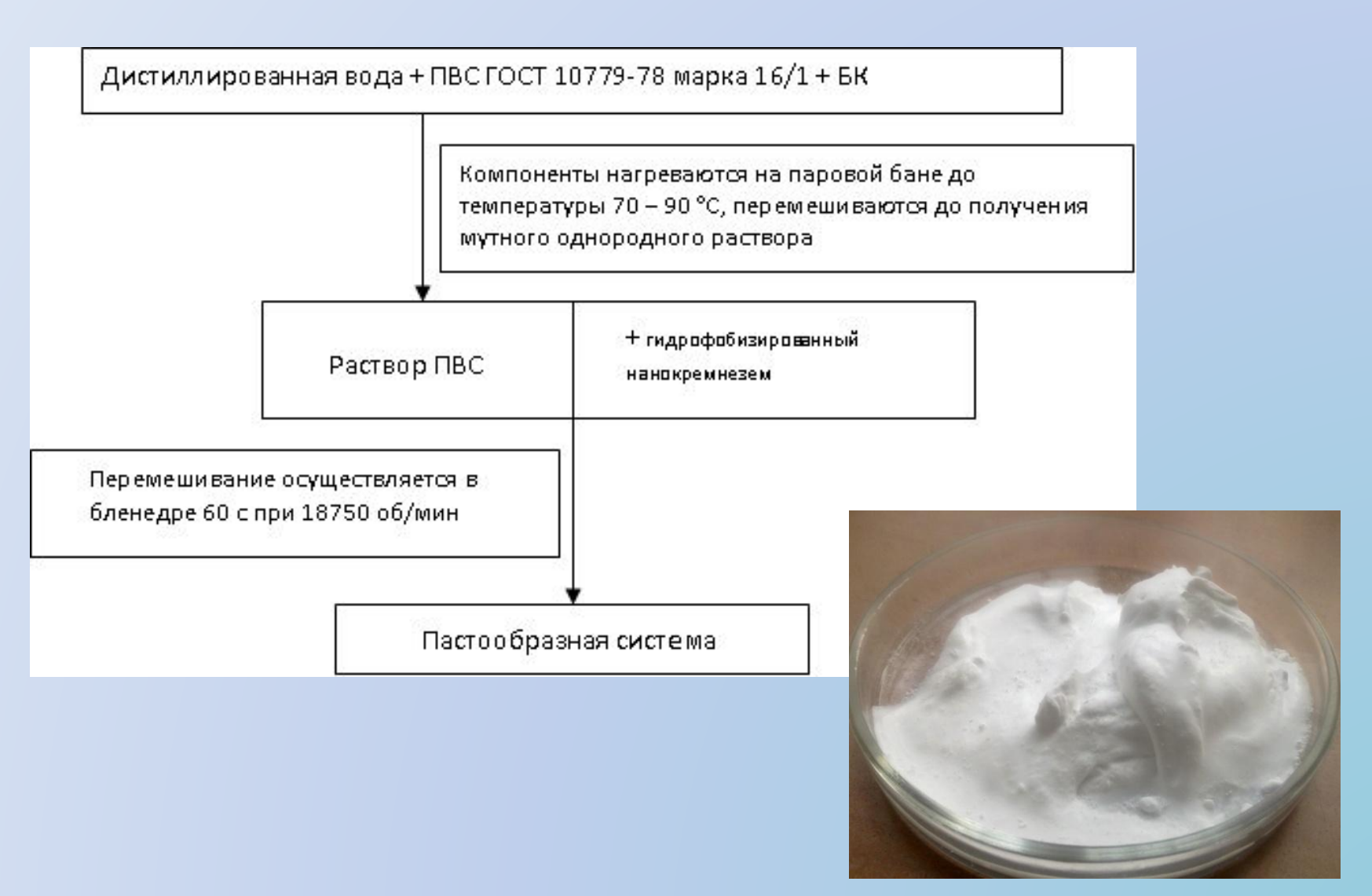


Фото дисперсии ПВС/гидрофобизированный нанокремнезем

натрия (0,3 мас. %)

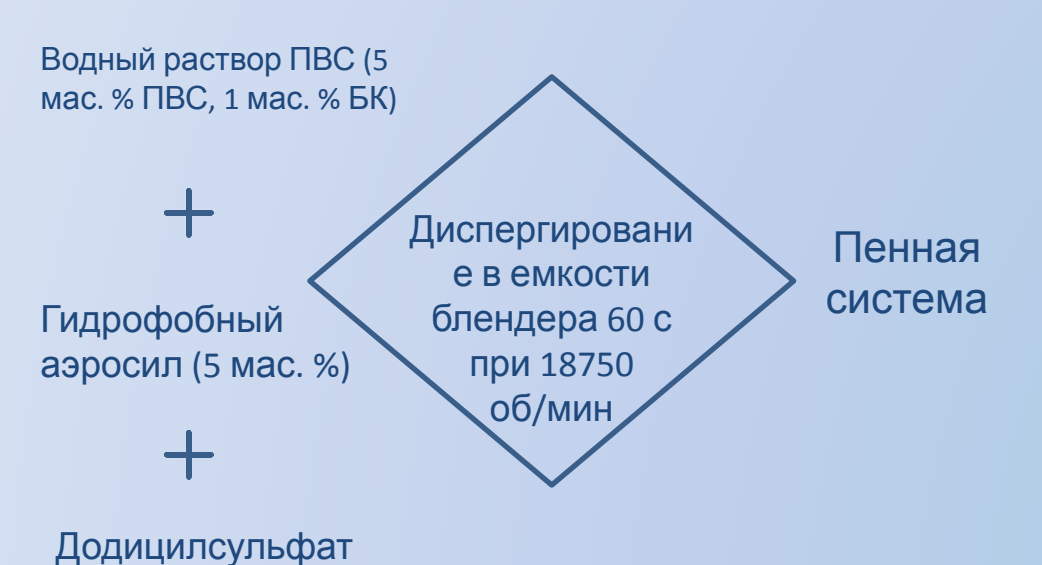
Фото дисперсии криогеля ПВС (5 мас. % ПВС, 1 мас. % БК)/гидрофобизированный нанокремнезем (5 мас. %) после цикла замораживания/оттаивания; Замораживание и выдерживание

при -15 °C не менее 24 часов.

Оттаивание и выдерживание при +23 °С не менее 24 часов.

Дисперсия криогеля ПВС сохраняет форму после 5 циклов замораживания/оттаивания.







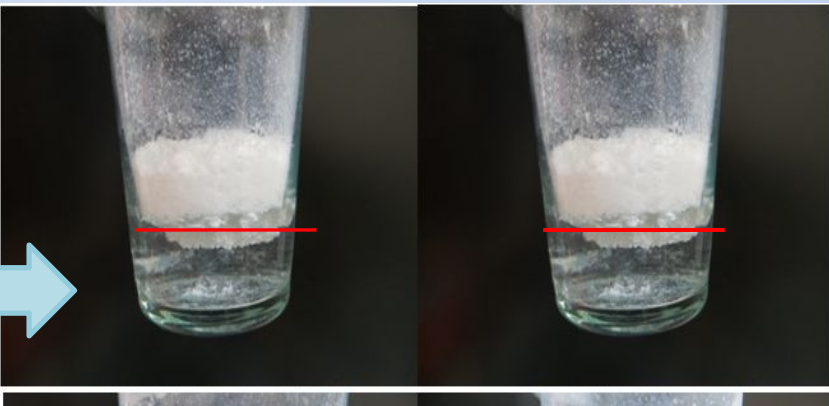
Влияние циклов замерзания/оттаивания на дисперсии воды, стабилизированные гидрофобным аэросилом

После одного цикла замерзания/оттаиван ия

Содержание гидрофобного аэросила 3 мас.%

Содержание гидрофобного аэросила 5мас.%

Содержание гидрофобного аэросила 8мас.%







После двух циклов замерзания/оттаиван ия

Расслоение образцов произошло после первого цикла замерзания/о ттаивания